

## Л и т е р а т у р а

- [1] Алферов Ж.И., Андреев В.М., Воднев А.А., Ивентьева О.О., Ларионов В.Р., Румянцев В.Д. - ФТП, 1986, т. 20, в. 2, с. 381-383.
- [2] Андреев В.М., Ивентьева О.О., Конников С.Г., Погребицкий К.Ю., Пурон Э., Сулимова О.В., Фалеев Н.Н. - Письма в ЖТФ, 1986, т. 12, в. 9, с. 533-537.
- [3] Алферов Ж.И., Андреев В.М., Воднев А.А., Конников С.Г., Ларионов В.Р., Погребицкий К.Ю., Румянцев В.Д., Хвостиков В.П. - Письма в ЖТФ, 1986, т. 12, в. 18, с. 1089-1093.
- [4] Андреев В.М., Воднев А.А., Мингтаинров А.М., Румянцев В.Д., Хвостиков В.П. - ФТП, 1987, т. 21, в. 7, с. 1212-1216.
- [5] Алферов Ж.И., Антонишкис Н.Ю., Арсентьев И.Н., Гарбузов Д.З., Красовский В.В., Тикунов А.В., Халфин В.Б. - ФТП, 1987, т. 21, в. 1, с. 162-164.
- [6] Алферов Ж.И., Антонишкис Н.Ю., Арсентьев И.Н., Гарбузов Д.З., Тикунов А.В., Халфин В.Б. - ФТП, 1987, т. 21, в. 8, с. 1517-1519.
- [7] Арсентьев И.Н., Гарбузов Д.З., Конников С.Г., Погребицкий К.Ю., Свелокузов А.Е., Фалеев Н.Н., Чудинов А.В. - ФТП, 1986, т. 20, в. 12, с. 2206-2211.

Физико-технический  
институт им. А.Ф. Иоффе  
АН СССР, Ленинград

Поступило в Редакцию  
5 октября 1987 г.

Письма в ЖТФ, том 14, вып. 2                    26 января 1988 г.

### О ВЛИЯНИИ ПРИМЕСИ ВНЕДРЕНИЯ НА ЛЮМИНЕСЦЕНТНЫЕ СВОЙСТВА ИМПЛАНТИРОВАННОГО ФОСФИДА ИНДИЯ ПОСЛЕ ЛАЗЕРНОГО ОТЖИГА

Е.Н. Арутюнов, А.Н. Васильев,  
С.Ю. Карпов, И.А. Соколов,  
Е.М. Танклевская, А.В. Тулупов

Наносекундное лазерное воздействие на кристаллический  $GaAs$  приводит к резкой деградации его люминесцентных свойств [1]. При импульсном отжиге имплантированных слоев  $GaAs$  с плотностями

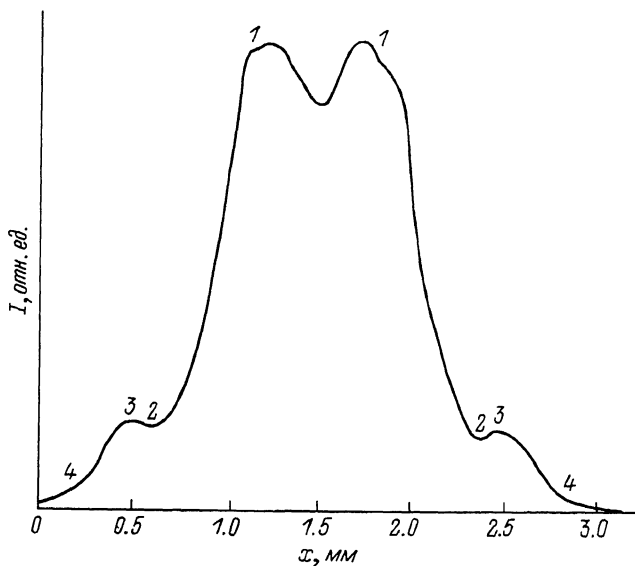


Рис. 1. Распределение интенсивности люминесценции по сечению отожженной области. Цифрами обозначены зоны, соответствующие различным режимам обработки имплантированного слоя: 1 - зона эпитаксиальной кристаллизации, 2 - зона поликентрической кристаллизации, дающей характерное светлое кольцо в морфологии поверхности, 3 - периферийная зона кристаллизации, 4 - необработанный материал.

энергии выше порога плавления и ниже порога разрушения поверхности полупроводника не удается восстановить излучательные свойства материала, утраченные в процессе имплантации [1, 2]. В работе [3] показано, что существует режим наносекундной лазерной обработки кристаллического  $InP$ , не дающий характерной деградации излучательных характеристик. Такой режим реализуется в узком энергетическом интервале вблизи порога плавления полупроводника. Частичное восстановление люминесцентных свойств имплантированного  $InP$  при наносекундном лазерном воздействии было получено в [4]. В отличие от кристаллического материала эффект наблюдался в широком интервале плотностей энергии воздействия от порога эпитаксиальной кристаллизации до порога разрушения поверхности имплантированного слоя. Особенностью экспериментов, проведенных в работе [4], было то, что исследуемые образцы имплантировались ионами  $P^+$ , являющегося собственной компонентой бинарного соединения  $InP$ .

В данной работе проведено исследование влияния типа внедренной примеси на люминесцентные свойства отожженных лазером имплантированных слоев  $InP$ . При этом изучалось различие в поведении слоев  $InP$ , имплантированных собственной компонентой – фосфором,

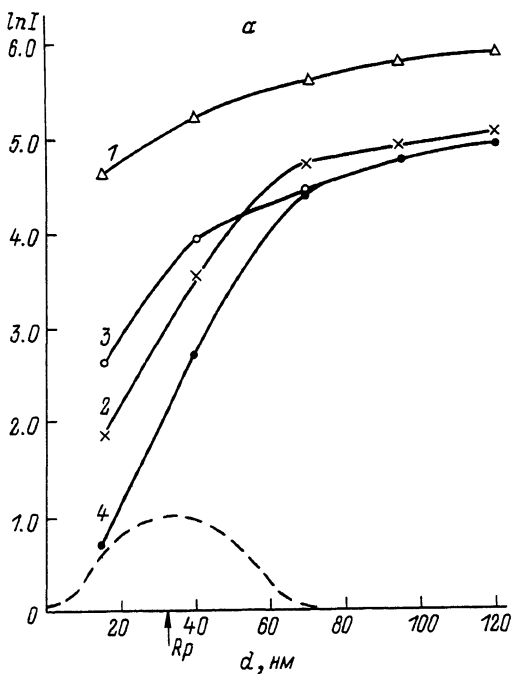


Рис. 2. Зависимость логарифма интенсивности люминесценции от толщины удаленного слоя для образцов  $InP$ , имплантированных ионами цинка (а) и фосфора (б), в различных зонах обработки. Пунктиром показано распределение имплантированных ионов согласно ЛШШ-теории.

и легирующей примесью (цинком), встраивющейся в подрешетку индия.

Образцы представляли собой пластины  $InP$  (100) ( $Sn$ ;  $n \sim 1 \cdot 10^{18} \text{ см}^{-3}$ ). В отличие от предыдущей работы [4] перед имплантацией образцы подвергались химико-динамической полировке. Имплантация ионами  $P^+$  и  $Zn^+$  проводилась с одинаковой энергией  $E = 100$  кэВ и дозой  $D = 2 \cdot 10^{14} \text{ см}^{-2}$ . Средний проецированный радиус пробега при имплантации  $P^+$  составлял  $R_p = 65$  нм, а при имплантации  $Zn^+ - R_p = 34$  нм. Отжиг осуществлялся импульсами  $YAG:Nd^{3+}$  лазера, работающего в режиме модулированной добротности ( $\tau \approx 20$  нс,  $\lambda = 1.06$  мкм) на основной TEM<sub>00</sub>-моды. Фотолюминесцентные измерения проводились на автоматизированной установке, обеспечивающей прецизионное сканирование области возбуждения по поверхности образца. Методика измерений была аналогична использованной в [4].

Морфология отожженных слоев  $InP$ , имплантированных ионами  $P^+$  и  $Zn^+$ , была одинакова и соответствовала наблюдавшейся ранее

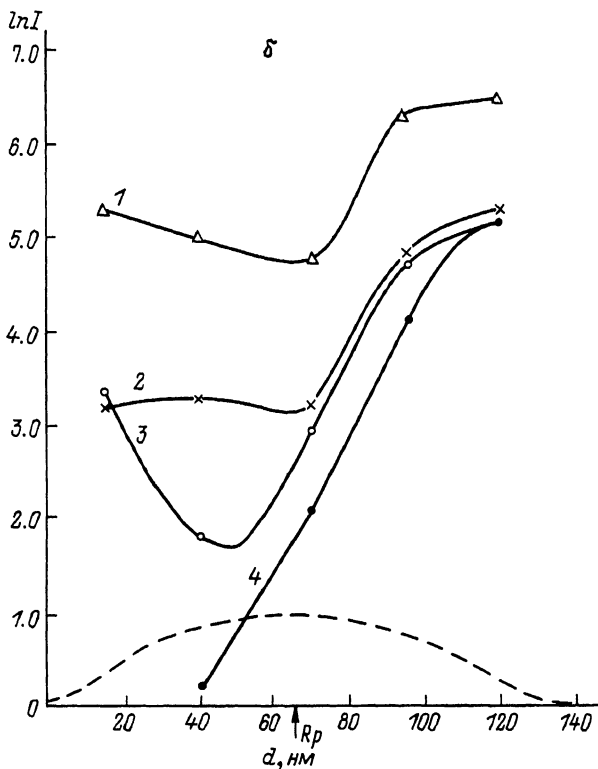


Рис. 2 (продолжение).

в [4]. На рис. 1 изображено типичное для образцов обоих типов распределение интенсивности люминесценции  $I$  ( $\times$ ) (в максимуме краевой полосы:  $\lambda = 926$  нм)<sup>1</sup> по сечению обработанной области после снятия с поверхности полупроводника дефектного слоя толщиной  $\sim 15$  нм. Отметим, что все характерные участки распределения  $I$  ( $\times$ ) в точности коррелируют с расположением кольцевых зон в обработанной области.

Исследование поведения излучательных свойств обработанного лазером материала по глубине проводилось с использованием методики анодного окисления и последующего удаления окисла. На рис. 2 показано поведение интенсивности сигнала фотoluminesценции  $I$  в зависимости от толщины удаленного с помощью анодного окисления слоя  $d$ . Видно, что характер кривых  $I(d)$  для образцов, имплантированных ионами  $P^+$  и  $Zn^+$ , кардинально различается.

<sup>1</sup> Спектр люминесценции в процессе лазерного воздействия не изменялся.

На образцах  $InP$ , имплантированных  $Zn^+$ , наблюдается монотонное возрастание интенсивности люминесценции во всех зонах по мере увеличения толщины удаленного слоя. Это указывает на высокий уровень дефектности материала в приповерхностном слое. Наиболее быстрое возрастание  $I(d)$  наблюдается в зоне 4 и связано с удалением аморфизированного в результате имплантации слоя  $InP$ . Граница аморфизированного слоя соответствует перегибу кривой  $I(d)$  в зоне 4. Минимальный уровень дефектности наблюдается в зоне эпитаксиальной кристаллизации 1. Материал в зоне 2 по своим излучательным свойствам оказывается близким к аморфизированному материалу.

Совершенно иное поведение зависимости  $I(d)$  наблюдается на слоях  $InP$  имплантированных  $P^+$ . Как и в предыдущем случае, удаление аморфизированного неотожженного материала (зона 4) приводит к монотонному росту  $I(d)$ . Однако во всех остальных зонах регистрируется немонотонное поведение зависимостей  $I(d)$  с минимумом, соответствующим среднему проецированному пробегу ионов  $P^+$  (максимуму концентрации имплантированных ионов в полупроводнике). Такой ход кривых  $I(d)$  указывает на то, что вблизи поверхности обработанного материала находится слой с пониженным уровнем дефектности, отделенный от подложки слоем с относительно более высоким уровнем дефектности, дающим канал сильной безызлучательной рекомбинации. Следует отметить, что немонотонное поведение  $I(d)$  не проявилось в более ранних экспериментах [4] из-за сильного влияния на излучательные свойства  $InP$  дефектов механической полировки образцов<sup>2</sup> (как показывают результаты [4], влияние этого типа дефектов сохраняется вплоть до глубин 0.3–0.4 мкм).

Таким образом, приведенные экспериментальные данные показывают, что тип внедренной при имплантации примеси оказывает существенное влияние на люминесцентные свойства лазерно-отожженных слоев  $InP$ . Внедрение собственной компоненты У группы способствует уменьшению дефектности материала после лазерного воздействия. Этот результат можно объяснить, предполагая, что после лазерной обработки основным типом дефектов в полупроводниках  $A_3B_5$ , определяющим интенсивность безызлучательного канала рекомбинации, являются вакансии элементов У группы. Внедрение при имплантации собственной компоненты У группы позволяет сформировать ее избыточную относительно стехиометрического состава концентрацию в расплаве, созданном лазерным импульсом. В этом случае процесс образования вакансий элемента У группы при быстрой кристаллизации полупроводника из расплава оказывается частично подавленным, что приводит к образованию в приповерхностном слое материала с низким уровнем дефектности. Очевидно, что имплантация в  $InP$

<sup>2</sup> Использование образцов с механически полированной поверхностью позволило сопоставить порог отжига имплантированного слоя с порогом затекания рельефа на поверхности полупроводника.

ионов  $Zn^+$  не может повлиять на процесс образования вакансий при быстрой кристаллизации из расплава. Поэтому на образцах  $InP$ , имплантированных  $Zn^+$ , наблюдается совершенно иное поведение зависимостей  $I(d)$  с глубиной, чем на образцах, имплантированных  $P^+$ .

Таким образом, в данной работе показано, что имплантация в  $InP$  собственной компоненты У группы позволяет уменьшить дефектность материала после наносекундного лазерного воздействия. По-видимому, этот вывод справедлив также и для других полупроводниковых соединений  $A_3B_5$ .

Авторы благодарят Ю.В. Погорельского за обсуждение результатов работы.

### Л и т е р а т у р а

- [1] Арутюнов Е.Н., Васильев А.Н., Карпов С.Ю., Ковальчук Ю.В., Мячин В.Е., Погорельский Ю.В. В сб. Неравновесные процессы в полупроводниках. Л., 1986, с. 180-201.
- [2] Nojima S. - J. Appl. Phys., 1982, v. 53, № 7, p. 5028-5036.
- [3] Алферов Ж.И., Арутюнов Е.Н., Васильев А.Н., Карпов С.Ю., Ковальчук Ю.В., Мячин В.Е., Погорельский Ю.В., Соколов И.А. - Письма в ЖТФ, т. 11, № 15, с. 916-920.
- [4] Арутюнов Е.Н., Васильев А.Н., Карпов С.Ю., Ковальчук Ю.В., Мячин В.Е., Соколов И.А. - Письма в ЖТФ, 1986, т. 12, № 20, с 1217-1222.

Физико-технический  
институт им. А.Ф. Иоффе  
АН СССР, Ленинград

Поступило в Редакцию  
19 октября 1987 г.

Письма в ЖТФ, том 14, вып. 2

26 января 1988 г.

ДОМИНИРУЮЩИЕ РЕКОМБИНАЦИОННЫЕ ЦЕНТРЫ  
В СЛОЯХ  $n\text{-GaAs}$ , ПОЛУЧЕННЫХ ОСАЖДЕНИЕМ  
ИЗ ГАЗОВОЙ ФАЗЫ

В.М. Ботнарук, Ю.В. Жиляев,  
А.Г. Кечек, Н.И. Кузнецов,  
А.А. Лебедев, М.И. Шульга

Как известно, дефекты кристаллической решетки определяют многие важнейшие параметры полупроводниковых приборов. Некоторые